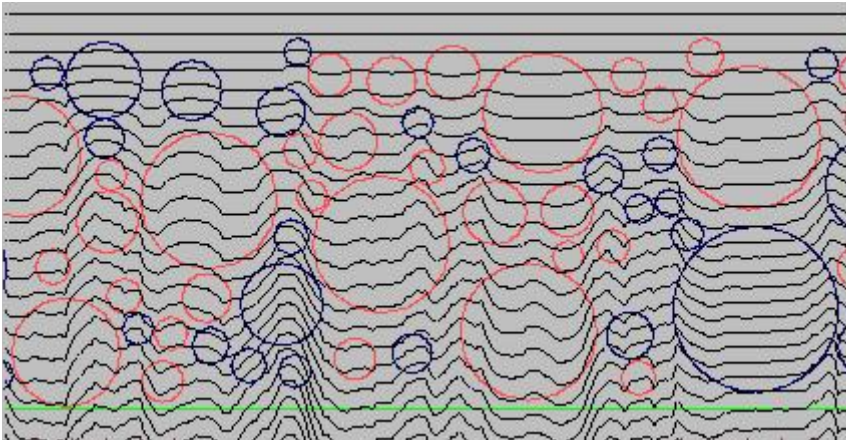


Turbolenza atmosferica: seeing

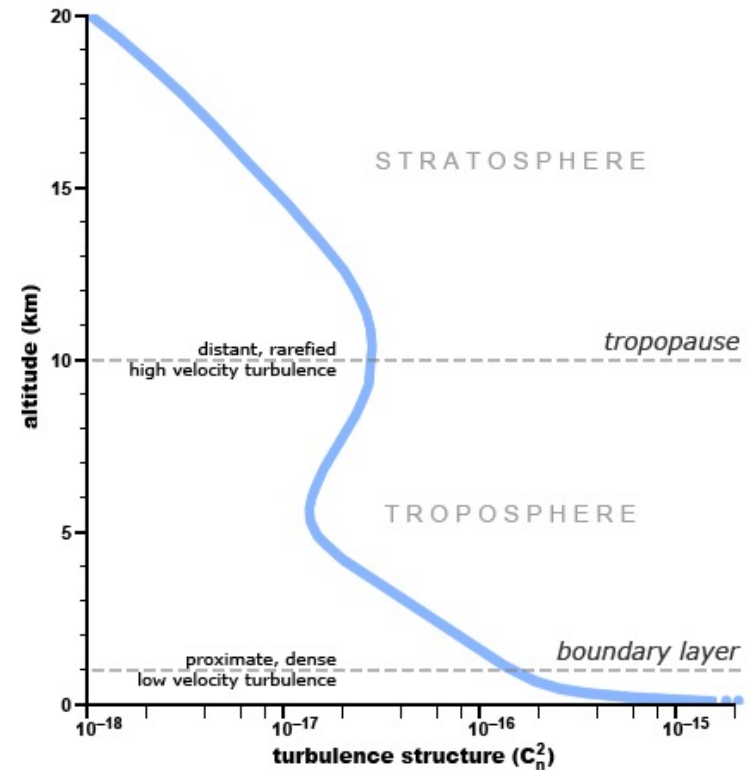


Densità spettrale delle fluttiazioni di fase

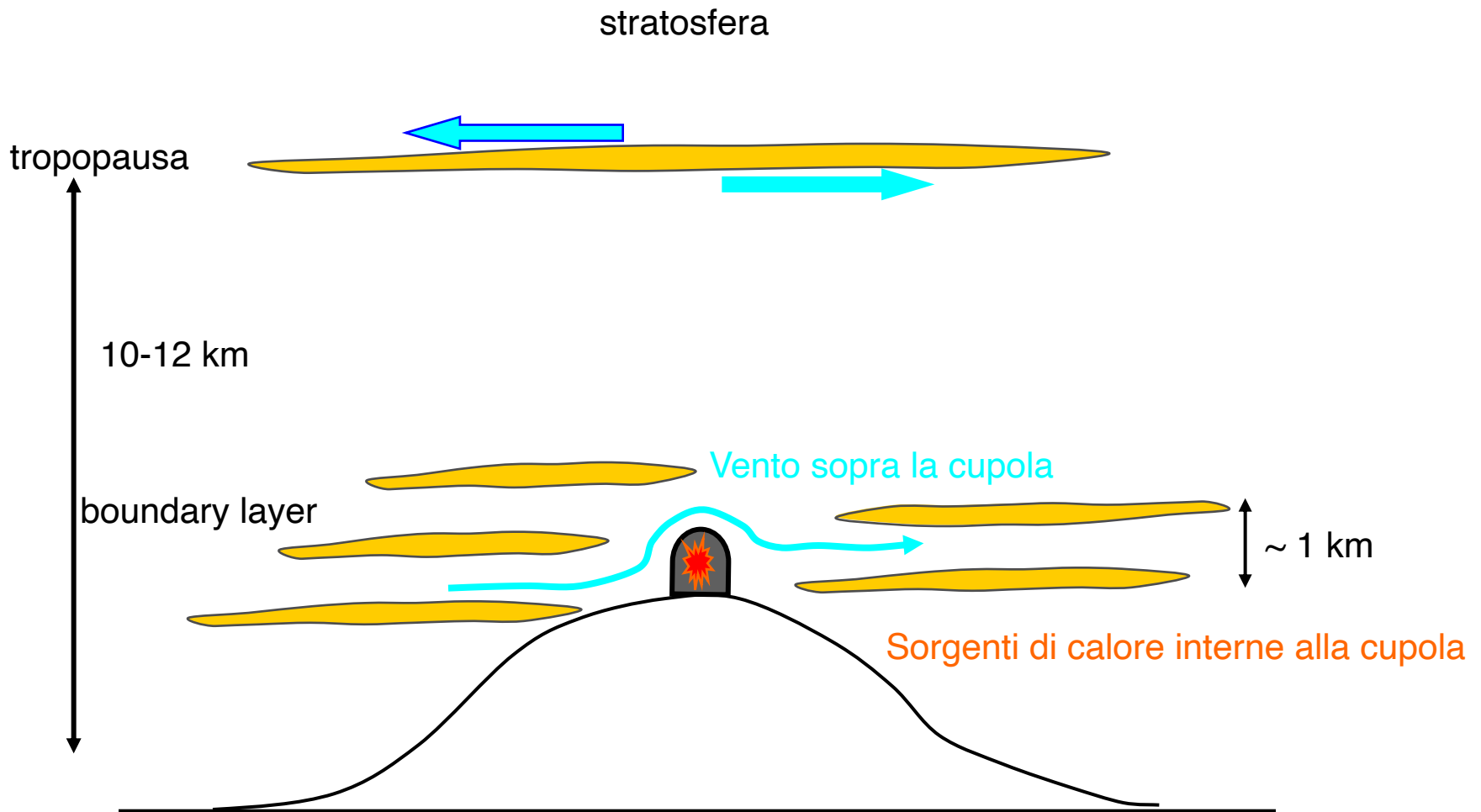
$$D_\phi(\vec{r}) \cong \langle [\phi(\vec{x} + \vec{r}) - \phi(\vec{x})]^2 \rangle \quad \text{Kolmogorov}$$

$$D_\phi(\vec{r}) \cong 6.88 \left(\frac{|\vec{r}|}{r_0} \right)^{5/3} \quad \text{Per fluttuazioni gaussiane}$$

$$r_0 \propto \lambda^{6/5}$$



La turbolenza si innesca a diverse quote



Strumentazione Astronomica: Seeing, Ottica Adattiva e Attiva

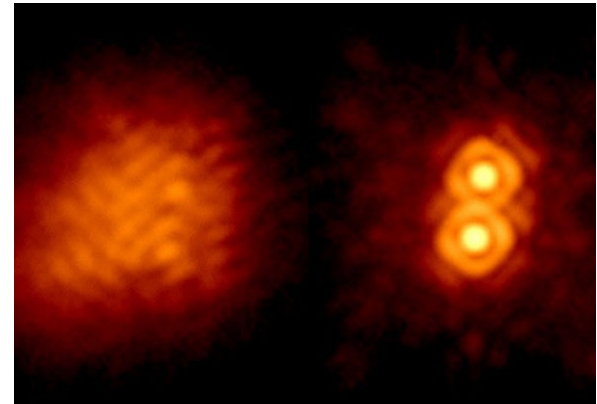
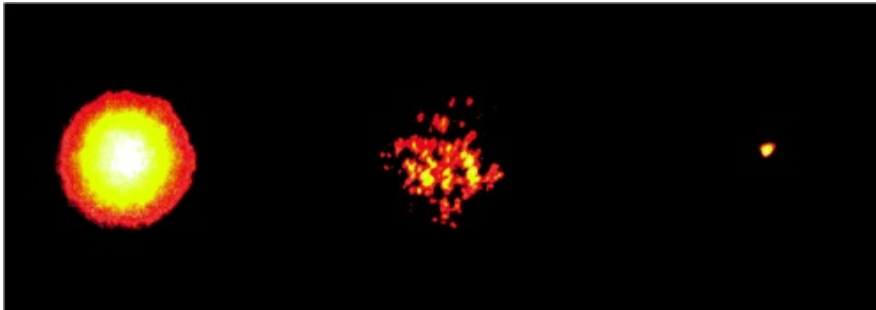
Turbolenza atmosferica: seeing

Lunghezza di coerenza di Fried: $r_0 \cong 0.114 \left(\frac{\lambda \cdot \cos z}{550} \right)^{0.6} m$ $\lambda(\text{nm})$ $z(\text{angolo zenitale})$

distanza oltre la quale la differenza di fase supera 1 radiante

A 550 nm e allo zenith, $r_0=0.114$ m! (1.5")

Angolo isoplanatico $\vartheta_0 \cong 0.31 \frac{r_0}{h}$ $h \sim 5 \text{ Km}$



Strumentazione Astronomica: Seeing, Ottica Adattiva e Attiva

La regione di cielo che e' interessata dalla medesima cella di turbolenza atmosferica si chiama **area isoplanatica** e puo' essere piccola qualche secondo d'arco

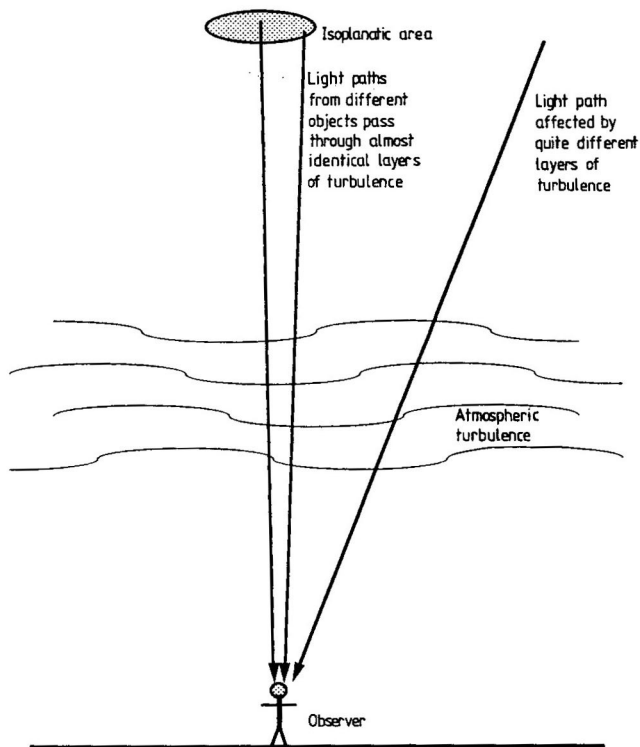
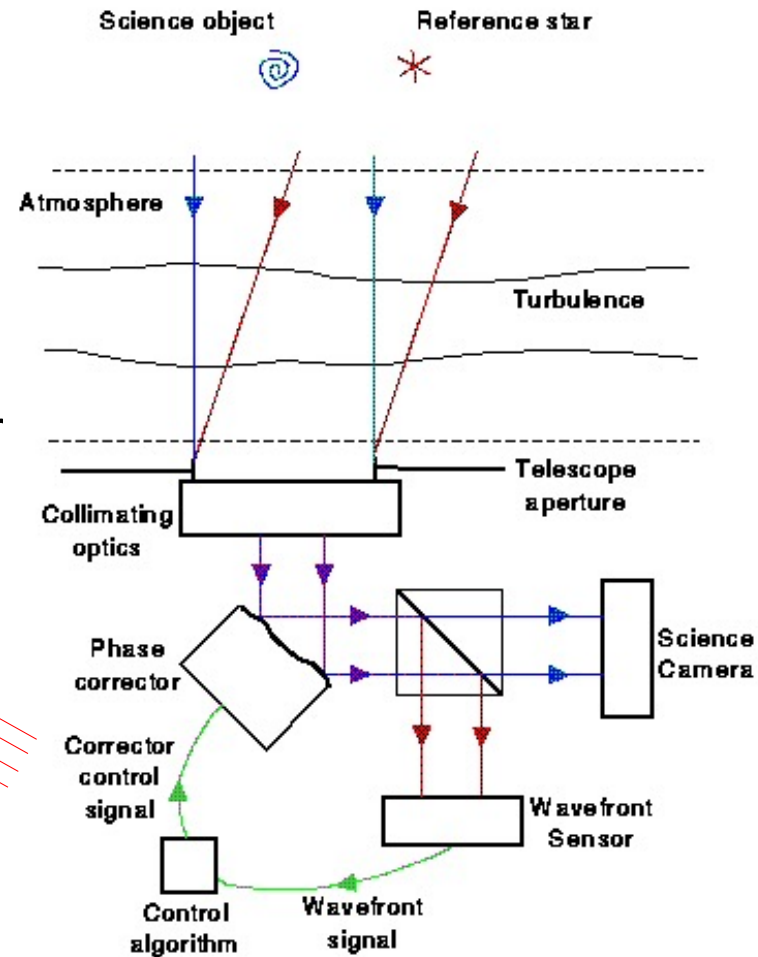
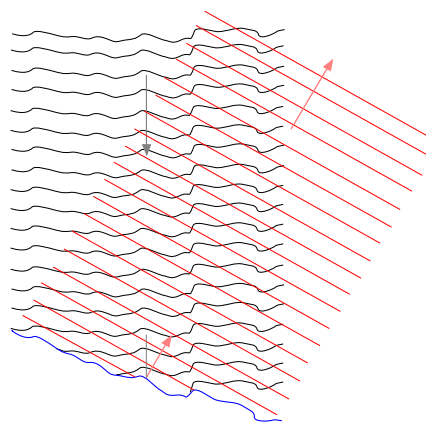


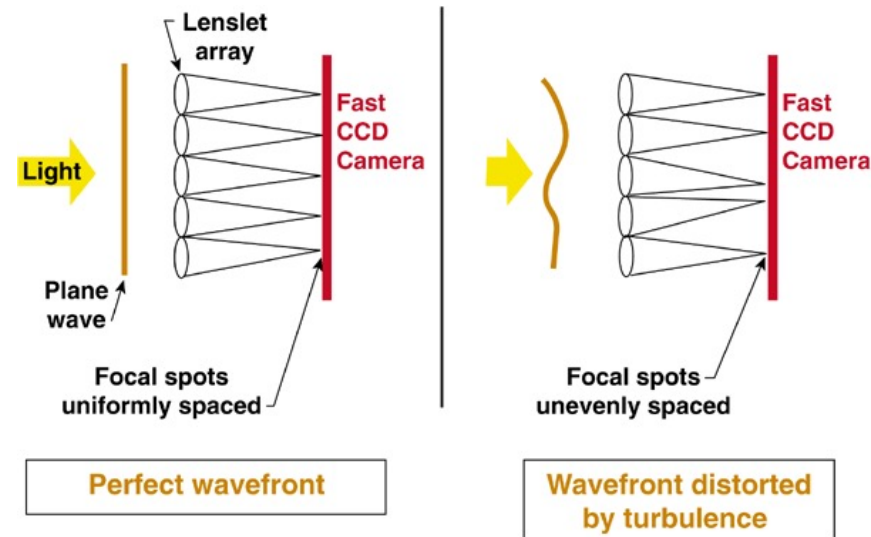
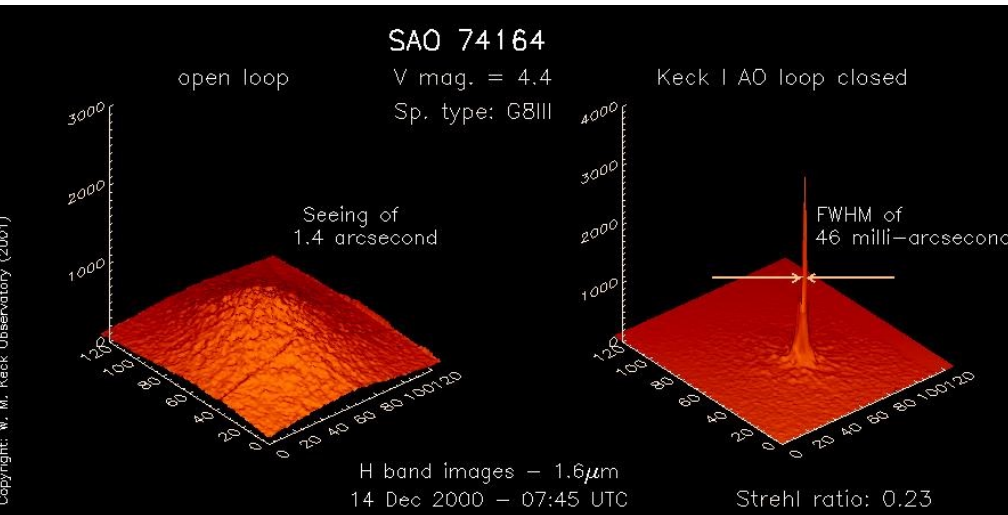
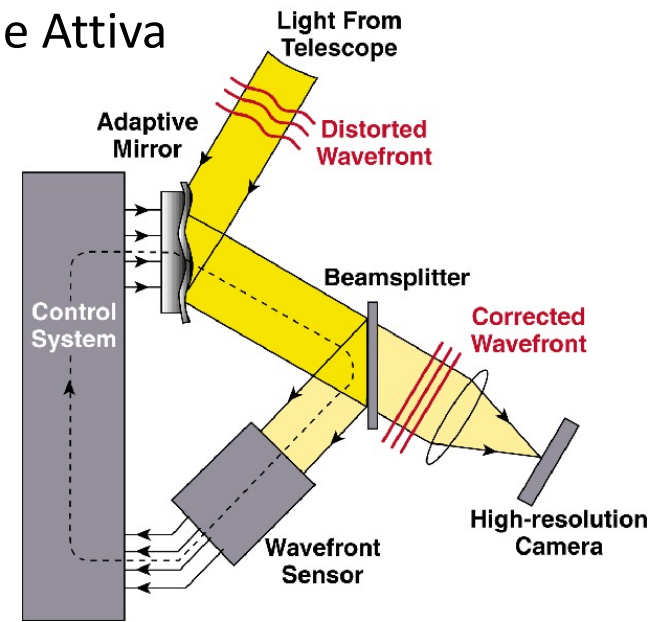
Figure 1.1.53. The isoplanatic area.

Si usa una stella guida nel campo per corregger la turbolenza atmosferica

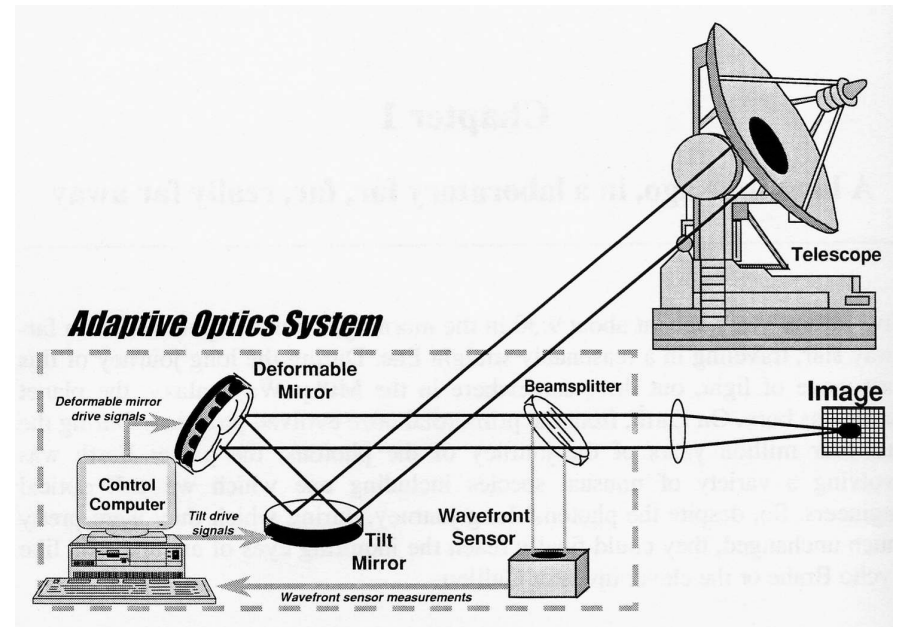
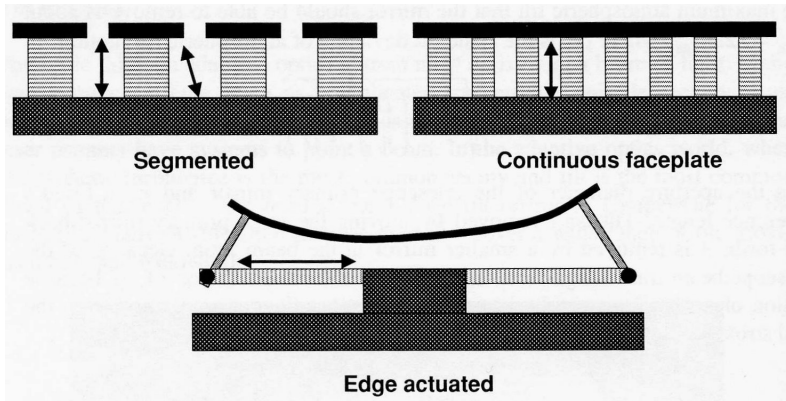
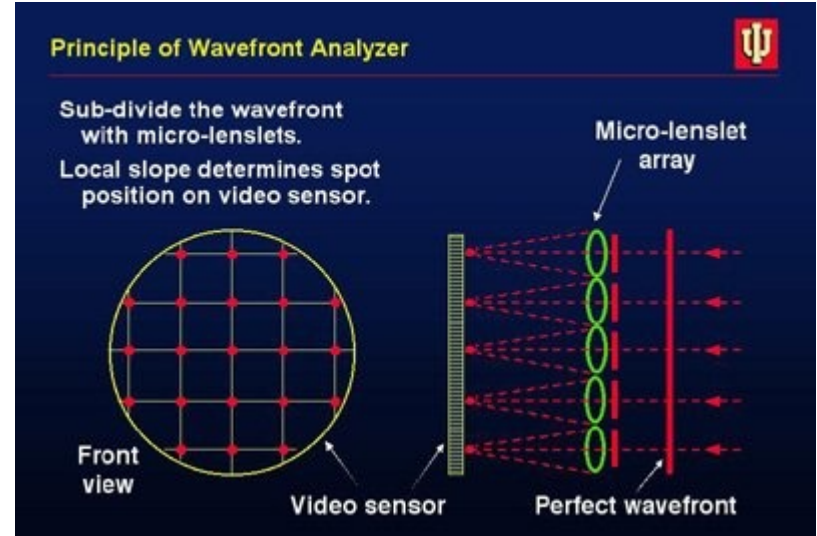
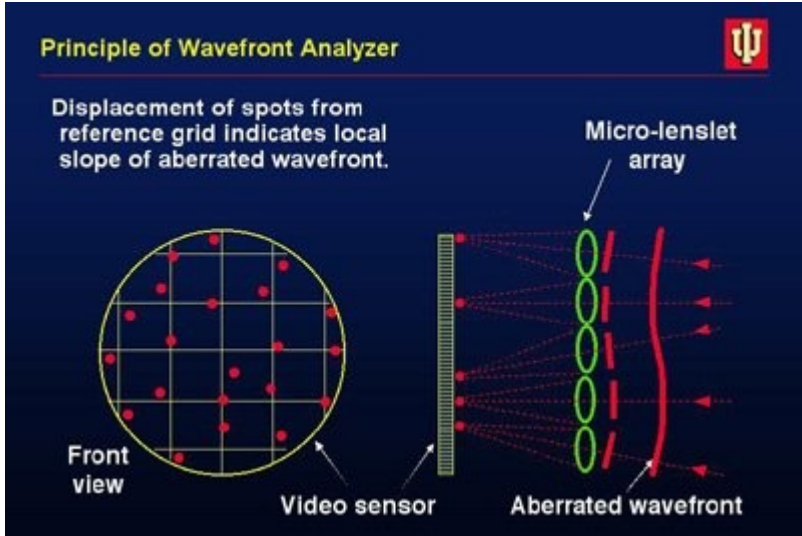


Ottica adattiva

Si analizza il fronte d'onda con un array bidimensionale di sensori che in tempo reale attuano delle deformazioni su degli specchi sottili che riportano "puntiforme" l'immagine di stelle di riferimento



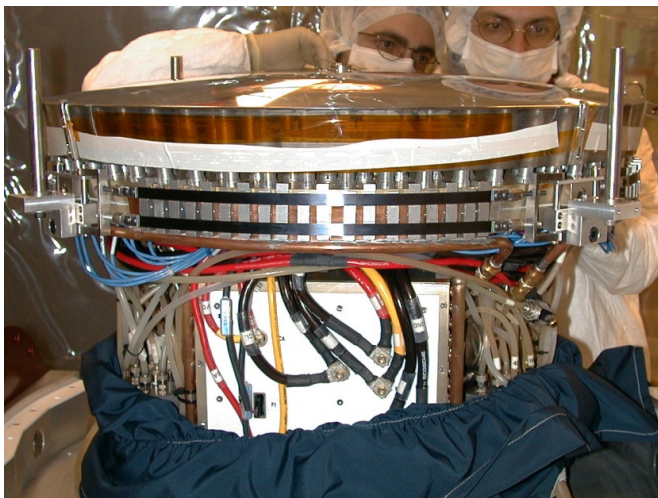
Strumentazione Astronomica: Seeing, Ottica Adattiva e Attiva



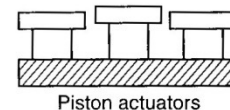
Strumentazione Astronomica: Seeing, Ottica Adattiva e Attiva



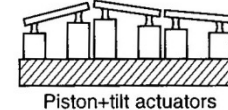
Come si implementa:
-Specchi deformabili
-Tip-Tilt
-Specchi segmentati
-Bimorfi



SEGMENTED MIRRORS

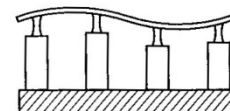


Piston actuators

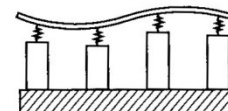


Piston+tilt actuators

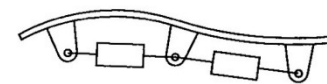
CONTINUOUS THIN-PLATE MIRRORS



Discrete position actuators



Discrete force actuators



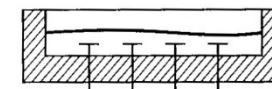
Bending moment actuators

MONOLITHIC MIRROR



Monolithic piezo multiple electrode actuators

MEMBRANE MIRROR



Electrostatic force actuators

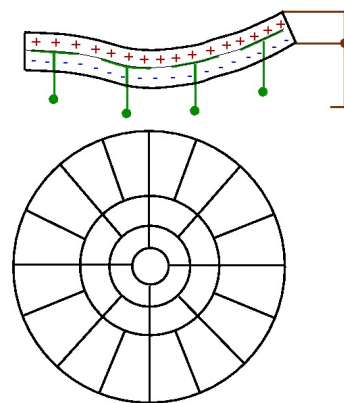
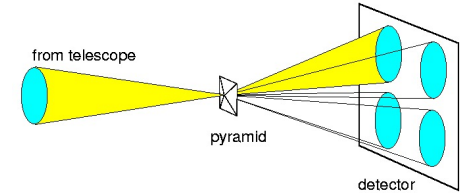
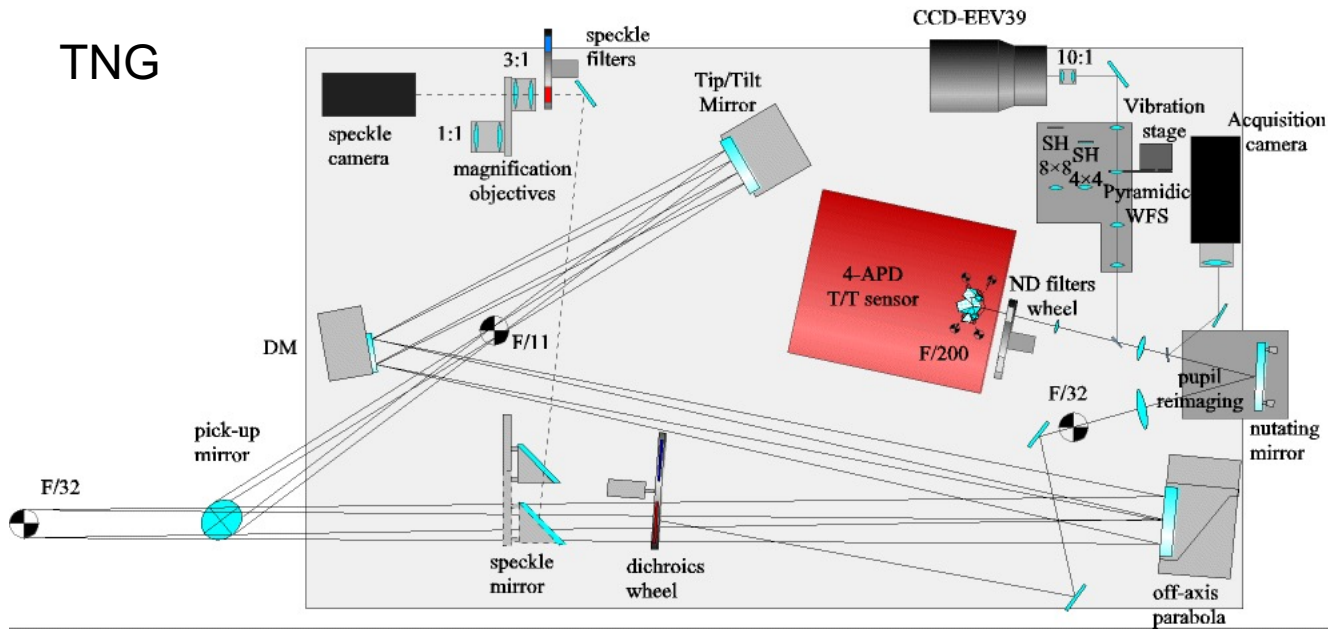


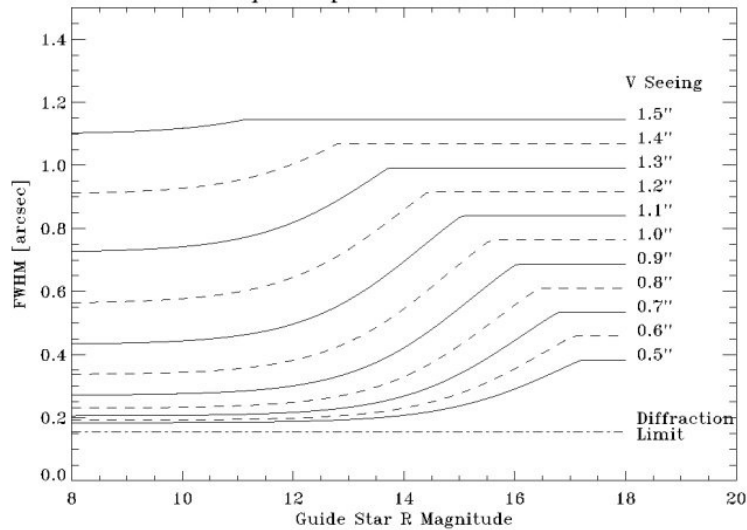
Fig. 5.10. Different types of deformable mirrors (from Merkle [5.41])

Strumentazione Astronomica: Ottica Adattiva

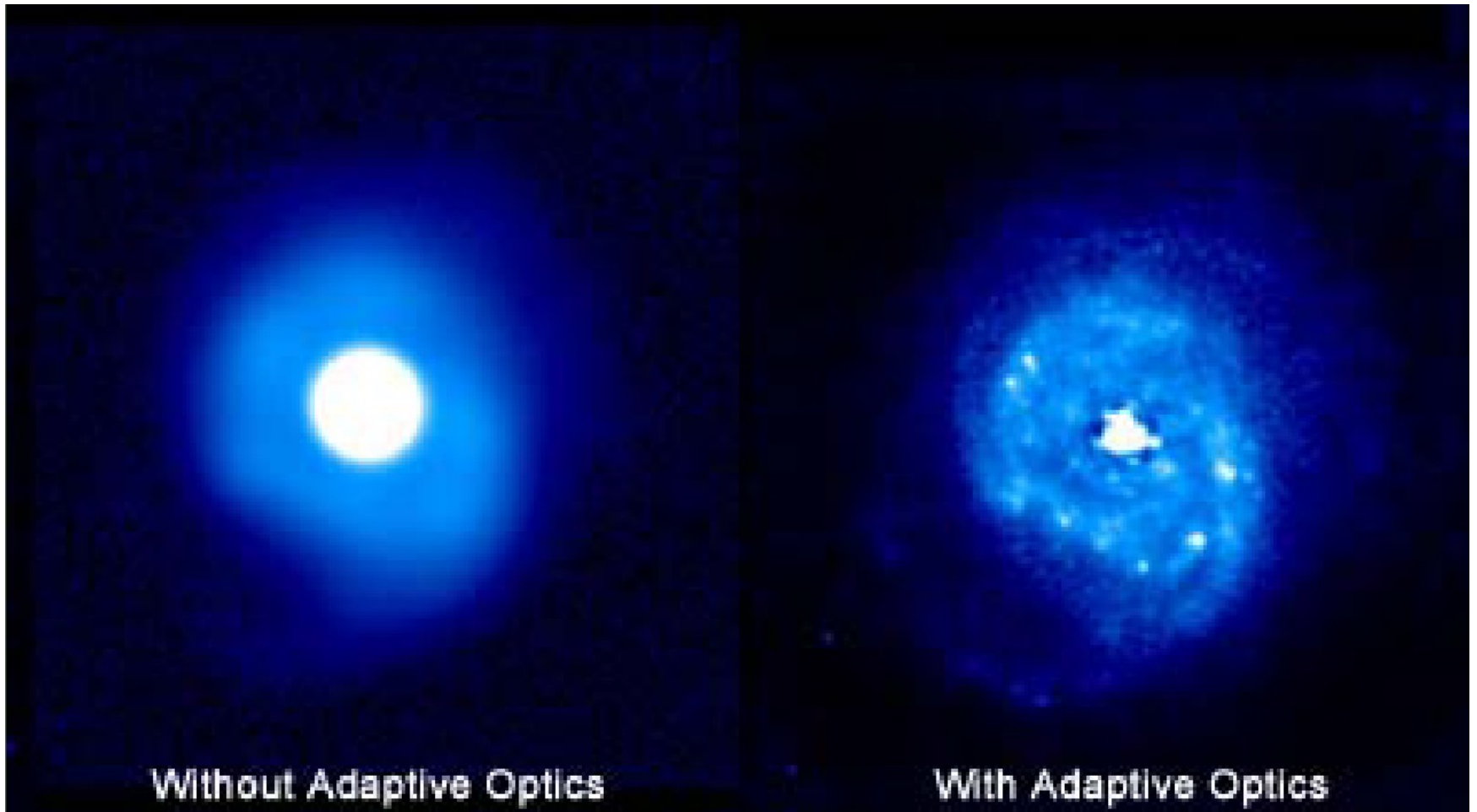
TNG



Tip-Tilt performances K Band



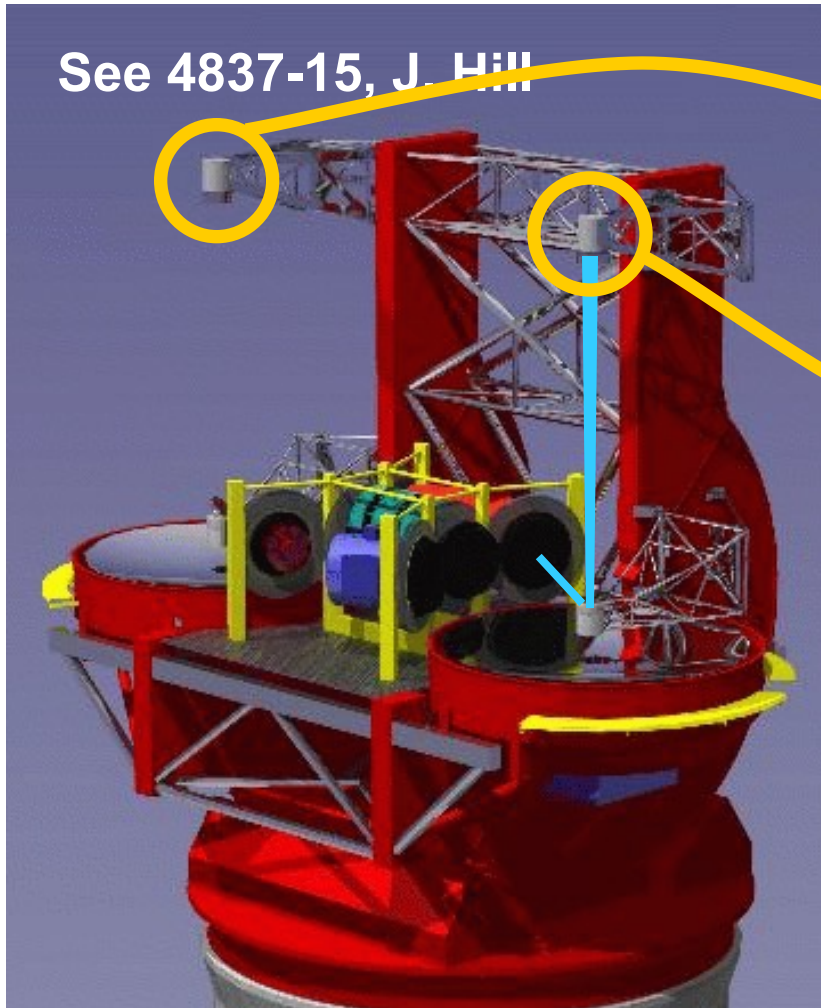
Strumentazione Astronomica: Ottica Adattiva



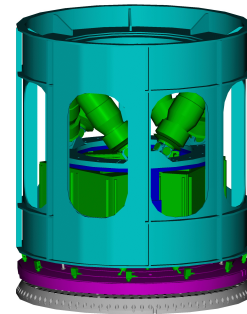
NGC 7469

Adaptive secondary in LBT

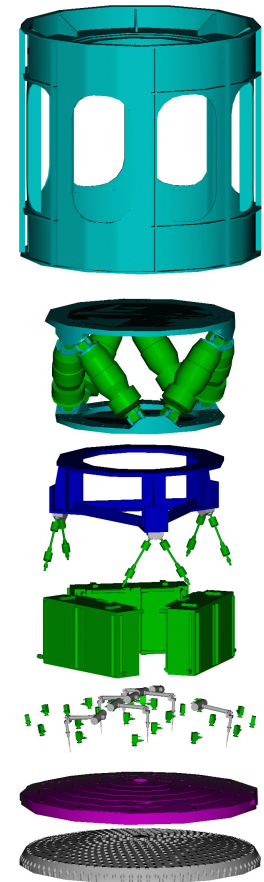
See 4837-15, J. Hill



2x8.4m mirrors

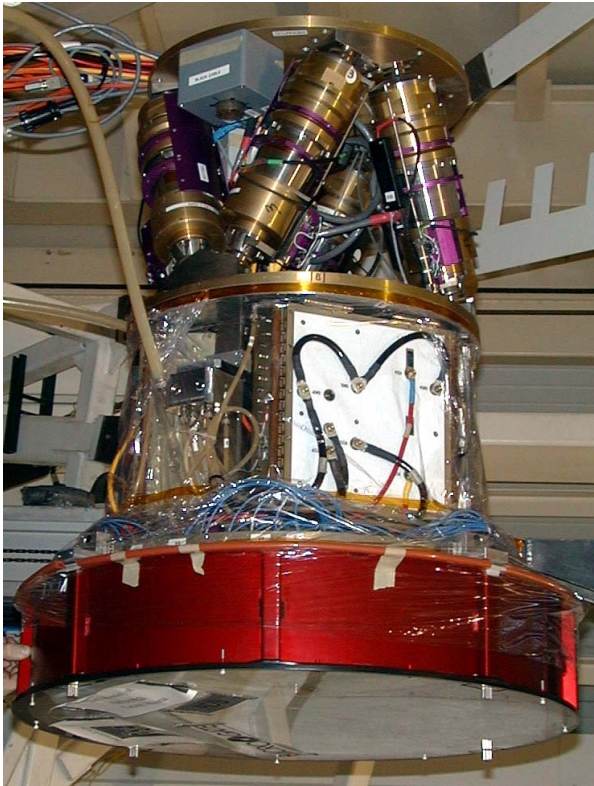


Each AdSec:
672 actuators
911mm diam.



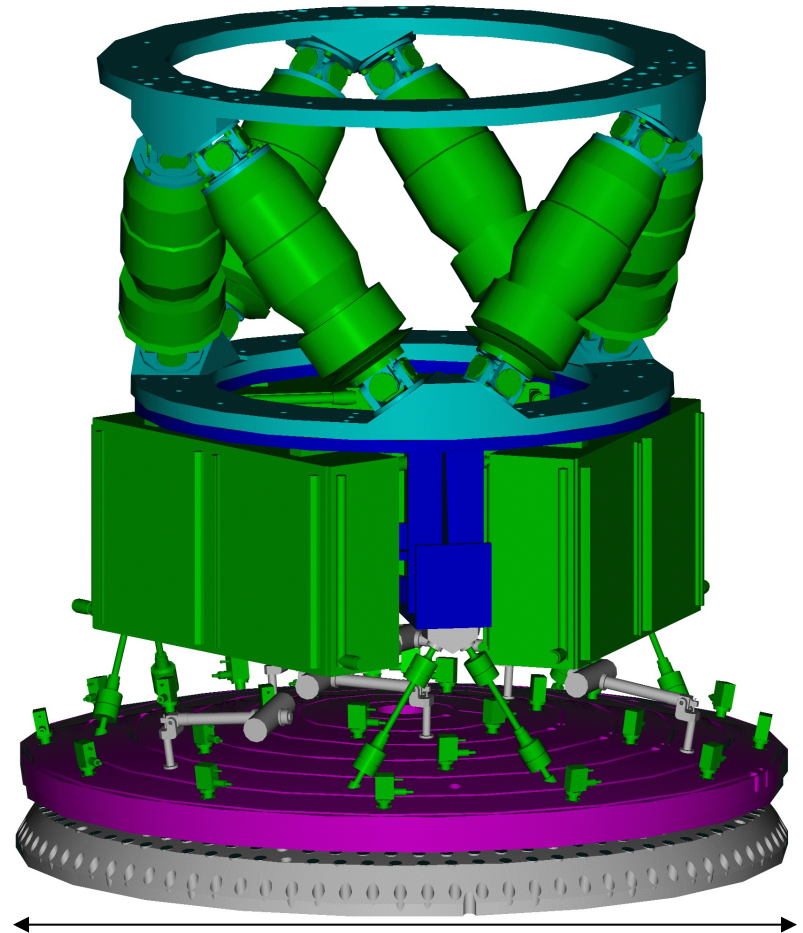
From MMT336 to LBT672

MMT: Cassegrain
336 actuators



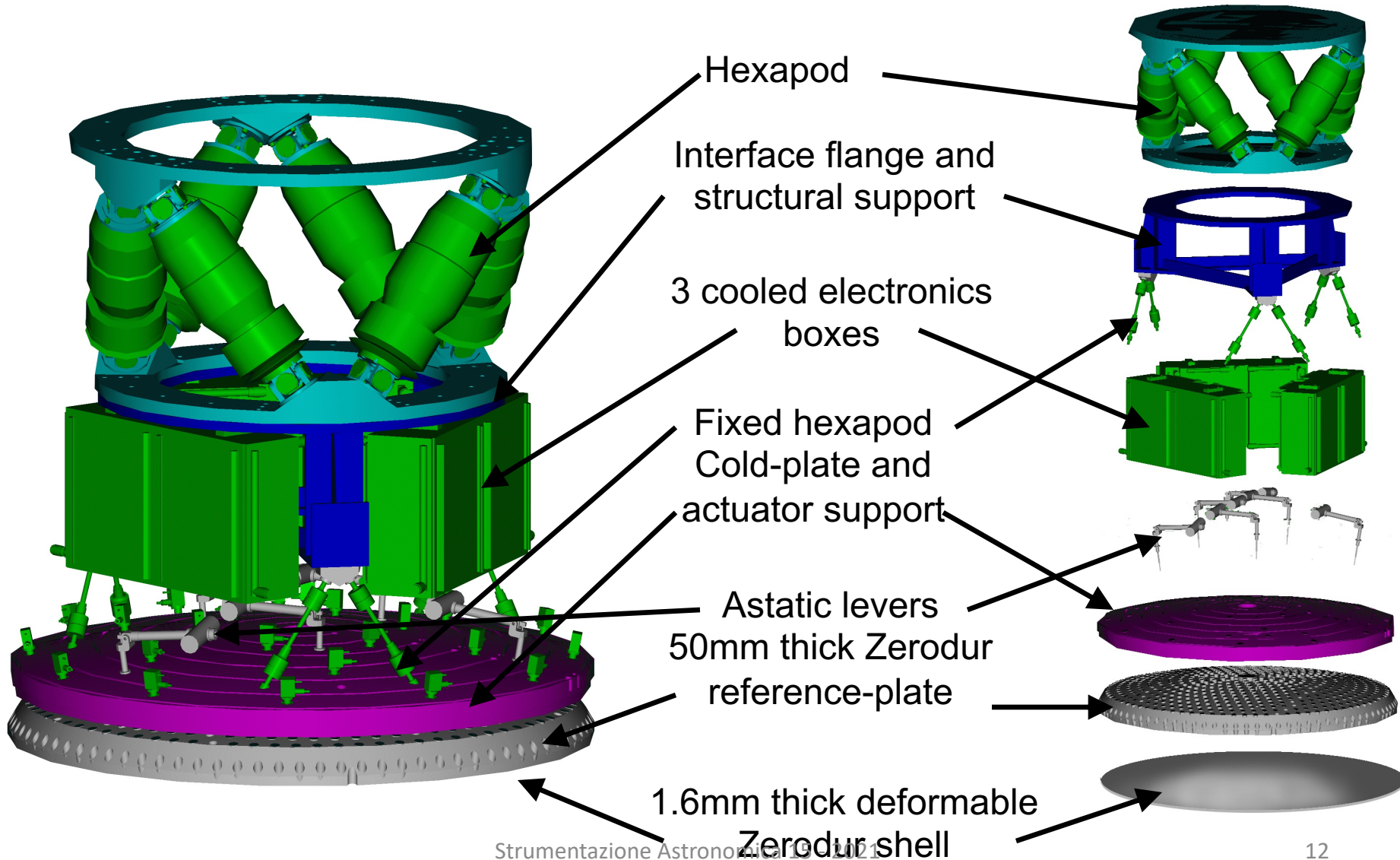
642mm

LBT: Gregorian
672 actuators



911mm

LBT672 layout



Strumentazione Astronomica: Seeing, Ottica Adattiva e Attiva

Stelle laser

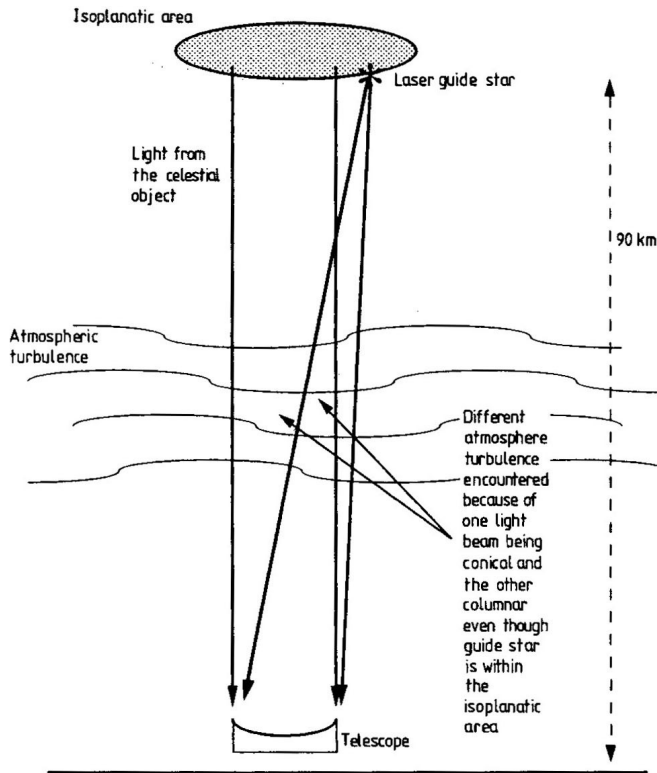


Figure 1.1.54. Light paths from a celestial object and a laser guide star to the telescope.

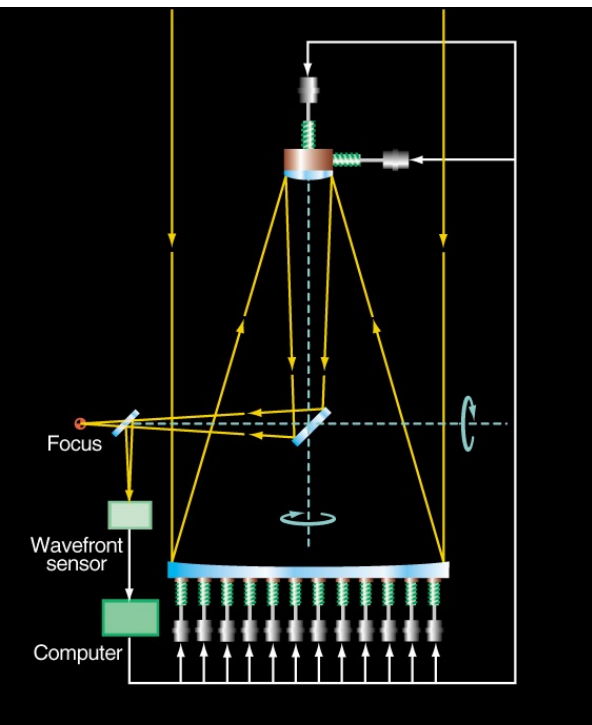


Se nel campo di vista non e' presente una stella sufficientemente brillante la si produce con un laser che eccita il sodio nell'alta atmosfera (~90 km) Ci sono pero' dei problemi...

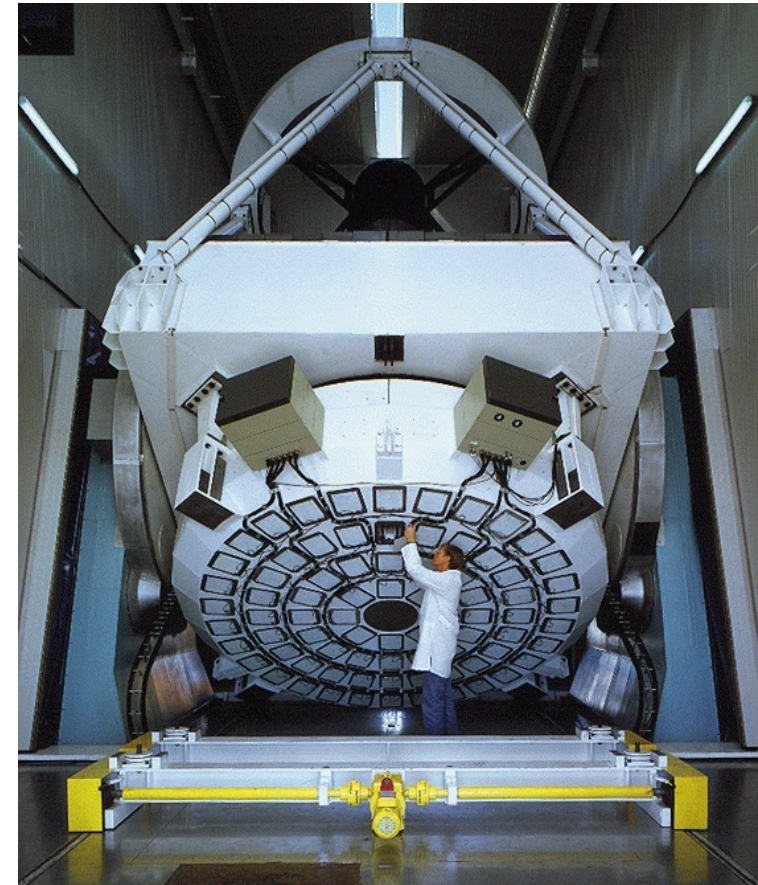
Ottica attiva

Da non confondere con quella adattiva.
Questa deforma il primario per compensare

le deformazioni dovute
allo stesso peso dello
specchio primario del
telescopio. La regola
classica era un rapporto
Diametro/Spessore
pari a 5...

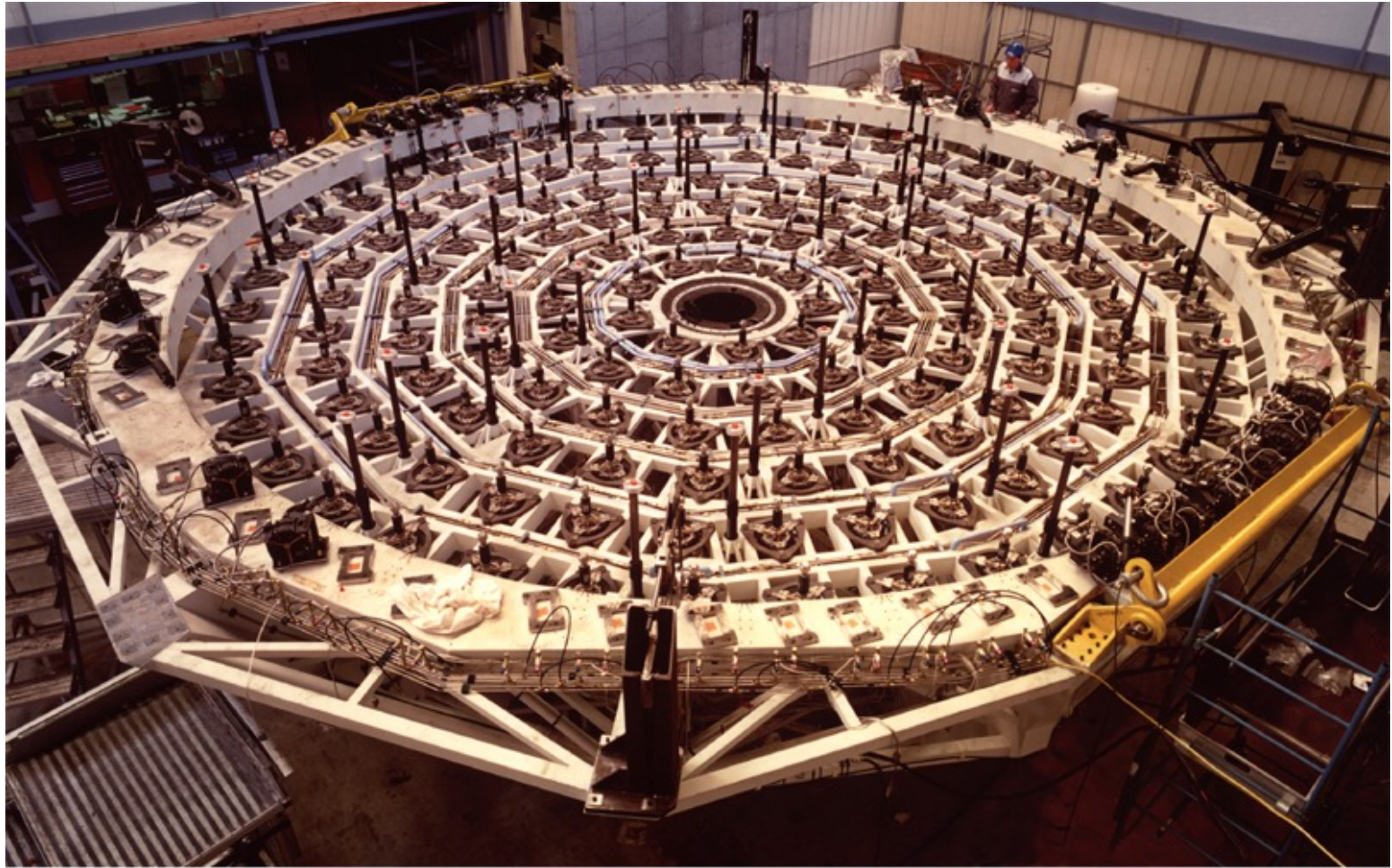


VLT Active Optics System



Lo specchio di VLT e' spesso 175 mm!

Strumentazione Astronomica: Seeing, Ottica Adattiva e Attiva

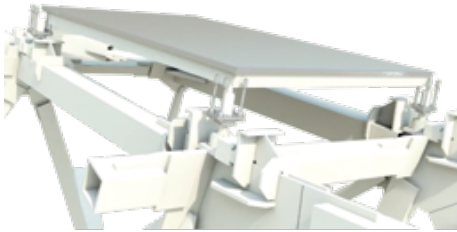


Active Mirror Supports in VLT M1 Cell

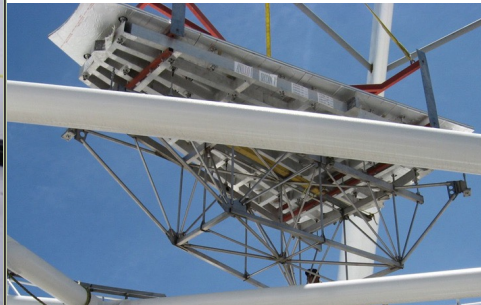
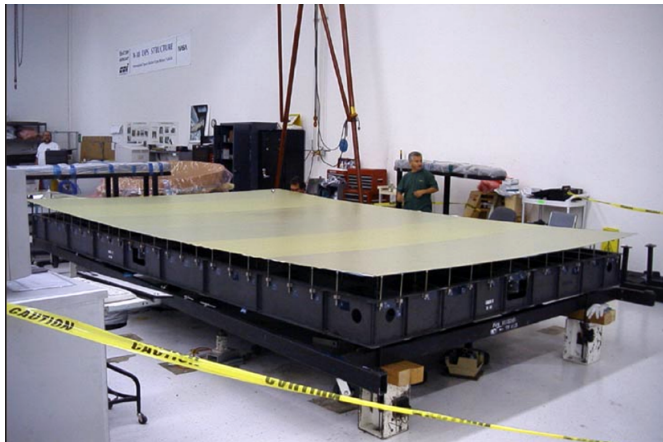
ESO PR Photo 34a/99 (13 August 1999)

© European Southern Observatory 

Strumentazione Astronomica: Seeing, Ottica Adattiva e Attiva



SRT



LMT

